

ANALISI DIMENSIONALE : Similitudine geometrica : $\exists \lambda = \frac{L_m}{L_p}$

Similitudine cinematica : $\exists \tau = \frac{t_m}{t_p} \frac{L_p}{L_m}$

→ similitudine dinamica $\pi_1 = f(\pi_2, \pi_3, \pi_4, \dots)$

Se $\pi_{2m} = \pi_{2p}$; $\pi_{3m} = \pi_{3p}$; ... $\Rightarrow \boxed{\pi_{1m} = \pi_{1p}}$

Una similitudine totale è necessariamente possibile → SIMILITUDINE PARZIALE

$Ne = \frac{F}{\rho L^2 L^2} \quad Re = \frac{\rho U L}{\mu} \quad Ma = \frac{U}{c_s} = \frac{U}{\sqrt{\gamma p}} ; Fr = \frac{U}{\sqrt{g L}}$

$Ne = \frac{U}{\sqrt{g_3/gL}}$

CONDOTTE IN PRESSIONE : $Re = \frac{\rho U D_k}{\mu} \quad D_k = \frac{4A_c}{P} = 4 \frac{\text{area sezione}}{\text{perimetro logorotolo}}$

Se $Re \gtrsim 2300$: moto turbolento

$\Delta P_L = f \frac{L}{D} \frac{\rho V^2}{2}$ perdita di pressione distribuita (attivo) ; $f = \text{coef. attivo di Darcy}$

$\Delta P_L = K_L \frac{\rho V^2}{2}$ $K_L = f \frac{L}{D} \frac{V^2}{2g}$: perdita di carico $K_L = K_L \frac{V^2}{2g}$: perdita di carico concentrata (in giunti, raccordi, flange, etc.)

$f = \frac{64}{Re}$ (laminare) f dal diagramma di Moody
 K_L : tabulato (in giunti, raccordi, flange, etc.)
 f nei moti turbolenti

Problemi di verifica : determinare ΔP_L dati L, D, V (immediato)
 di verifica : " " V dati $L, D, \Delta P$ (iterativo)
 di progetto : " " D dati $L, \Delta P, V$ (iterativo)

Eg. esempio : $\frac{P_1}{\rho g} + \frac{V_1^2}{2g} + z_1 + h_{\text{pump}, u} = \frac{P_2}{\rho g} + \frac{V_2^2}{2g} + z_2 + h_{\text{fric}, s} + h_L$
 perdite in pompa $h_{\text{fric}, s}$ h_L $h_{\text{fric}, s}$ h_L h_L h_L
 solo utile h_L h_L h_L h_L h_L h_L
 turbine

Eg. di flessione di un vincolo:

$\vec{\nabla} \cdot \vec{v} = 0$, $\rho \left(\frac{\partial v}{\partial t} + \vec{v} \cdot \vec{\nabla} v \right) = -\vec{\nabla} p + \rho \vec{g} + \mu \nabla^2 \vec{v}$

Nel caso cartesiano $\vec{\nabla} \cdot \vec{v} = \frac{\partial u}{\partial x} + \frac{\partial v}{\partial y} + \frac{\partial w}{\partial z} = 0$
 $(\vec{v} \cdot \vec{\nabla}) \vec{v} = u \frac{\partial \vec{v}}{\partial x} + v \frac{\partial \vec{v}}{\partial y} + w \frac{\partial \vec{v}}{\partial z}$

In coordinate cilindriche la eq. di Navier-Stokes sono :

incompressible continuity equation: $\frac{1}{r} \frac{\partial(r u_r)}{\partial r} + \frac{1}{r} \frac{\partial(r u_\theta)}{\partial \theta} + \frac{\partial u_z}{\partial z} = 0$

r-component of the incompressible Navier-Stokes equation:
 $\rho \left(\frac{\partial u_r}{\partial t} + u_r \frac{\partial u_r}{\partial r} + \frac{u_\theta}{r} \frac{\partial u_r}{\partial \theta} - \frac{u_\theta^2}{r} + u_z \frac{\partial u_r}{\partial z} \right) = -\frac{\partial p}{\partial r} + \rho g_r + \mu \left[\frac{1}{r} \frac{\partial}{\partial r} \left(r \frac{\partial u_r}{\partial r} \right) - \frac{u_r}{r^2} + \frac{1}{r^2} \frac{\partial^2 u_r}{\partial \theta^2} - \frac{2}{r^2} \frac{\partial u_\theta}{\partial \theta} + \frac{\partial^2 u_r}{\partial z^2} \right]$

theta-component of the incompressible Navier-Stokes equation:
 $\rho \left(\frac{\partial u_\theta}{\partial t} + u_r \frac{\partial u_\theta}{\partial r} + \frac{u_\theta}{r} \frac{\partial u_\theta}{\partial \theta} + u_z \frac{\partial u_\theta}{\partial z} \right) = -\frac{1}{r} \frac{\partial p}{\partial \theta} + \rho g_\theta + \mu \left[\frac{1}{r} \frac{\partial}{\partial r} \left(r \frac{\partial u_\theta}{\partial r} \right) - \frac{u_\theta}{r^2} + \frac{1}{r^2} \frac{\partial^2 u_\theta}{\partial \theta^2} + \frac{2}{r^2} \frac{\partial u_r}{\partial \theta} + \frac{\partial^2 u_\theta}{\partial z^2} \right]$

z-component of the incompressible Navier-Stokes equation:
 $\rho \left(\frac{\partial u_z}{\partial t} + u_r \frac{\partial u_z}{\partial r} + \frac{u_\theta}{r} \frac{\partial u_z}{\partial \theta} + u_z \frac{\partial u_z}{\partial z} \right) = -\frac{\partial p}{\partial z} + \rho g_z + \mu \left[\frac{1}{r} \frac{\partial}{\partial r} \left(r \frac{\partial u_z}{\partial r} \right) + \frac{1}{r^2} \frac{\partial^2 u_z}{\partial \theta^2} + \frac{\partial^2 u_z}{\partial z^2} \right]$

Navier-Stokes eq. $\frac{\partial \rho}{\partial t} = 0$
 Assidua $\frac{\partial \rho}{\partial t} = 0$
 Assidua $\frac{\partial \rho}{\partial t} = 0$
 Assidua $\frac{\partial \rho}{\partial t} = 0$

Nota bene : vale l'identità $\left[\frac{1}{r} \frac{\partial}{\partial r} \left(r \frac{\partial u}{\partial r} \right) - \frac{u}{r^2} \right] = \frac{1}{r^2} \frac{\partial}{\partial r} \left[r \frac{\partial}{\partial r} (r u) \right]$

che semplifica la risoluzione di molti problemi in coordinate cilindriche

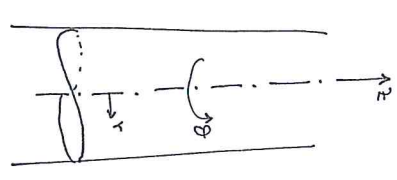
In coordinate (r, θ, z) il tensore degli sforzi $\vec{\tau}$ $\vec{\tau} = -p \vec{I} + \vec{\tau}$, or

II tensore idraulico $\tau_{ij} = \begin{pmatrix} \tau_{rr} & \tau_{r\theta} & \tau_{rz} \\ \tau_{\theta r} & \tau_{\theta\theta} & \tau_{\theta z} \\ \tau_{zr} & \tau_{z\theta} & \tau_{zz} \end{pmatrix} = \begin{pmatrix} 2\mu \frac{\partial u_r}{\partial r} & \mu r \frac{\partial}{\partial r} \left(\frac{1}{r} \frac{\partial u_\theta}{\partial r} \right) + \frac{1}{r} \frac{\partial u_r}{\partial \theta} & \mu \left(\frac{\partial u_r}{\partial z} + \frac{\partial u_z}{\partial r} \right) \\ \mu r \frac{\partial}{\partial r} \left(\frac{1}{r} \frac{\partial u_\theta}{\partial r} \right) + \frac{1}{r} \frac{\partial u_r}{\partial \theta} & 2\mu \left(\frac{1}{r} \frac{\partial u_\theta}{\partial \theta} + \frac{u_\theta}{r} \right) & \mu \left(\frac{\partial u_\theta}{\partial z} + \frac{1}{r} \frac{\partial u_z}{\partial \theta} \right) \\ \mu \left(\frac{\partial u_r}{\partial z} + \frac{\partial u_z}{\partial r} \right) & \mu \left(\frac{\partial u_\theta}{\partial z} + \frac{1}{r} \frac{\partial u_z}{\partial \theta} \right) & 2\mu \frac{\partial u_z}{\partial z} \end{pmatrix}$

Se $\mu \rightarrow 0 \Rightarrow$ equazioni di Eulero

Condizioni al contorno

Eulero	Navier-Stokes
$\vec{v} \cdot \vec{n} = v_{\text{specie}} \cdot \vec{n}$	$\vec{v} = \vec{v}_{\text{specie}}$
$\vec{\tau} \cdot \vec{n} = \vec{\tau}_2 \cdot \vec{n}$	$\vec{\tau} = \vec{\tau}_2$
$(\vec{\tau}_1 \cdot \vec{n}) \cdot \vec{n} = (\vec{\tau}_2 \cdot \vec{n}) \cdot \vec{n}$	$\vec{\tau}_1 \cdot \vec{n} = \vec{\tau}_2 \cdot \vec{n}$



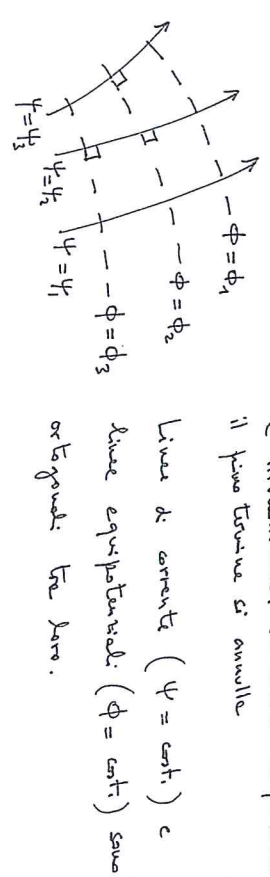
SOLUZIONI APPROSSIMATE:

lotti di armatura ("streamlines flow")
 ("il moto di Stokes") : $Re \ll 1$, $\nabla p \approx \mu \nabla^2 \vec{v}$

Resistenza su una sfera in moto con $Re \ll 1$: $\vec{D} = -3\pi\mu D \vec{v}$

OTA Potenziali (o irrotazionali): $\vec{\nabla} \times \vec{v} = \vec{0} \Rightarrow \exists \phi$ t.c. $\vec{v} = \nabla \phi$
 ($\phi =$ potenziale di velocità)

$\rho \frac{\partial \phi}{\partial t} + p + \frac{1}{2} \rho V^2 + \rho g z = \text{cost}$ in tutto il campo di moto ircomprensibile e irrotazionale. In ogni campo irrotazionale il primo teorema di annulla



N.B. ψ è definita solo per moto piano $[(x, y)]$ oppure (r, θ)
 o moto assidimensionale $[(r, z), \frac{\partial}{\partial \theta} = 0]$

Tabella per moto bidimensionali: 0 assidimensionali:

Description and Velocity Component 1	Velocity Component 2
Coordinate system	
Planar: Cartesian coordinates	$u = \frac{\partial \phi}{\partial x} = \frac{\partial \psi}{\partial y}$ $v = \frac{\partial \phi}{\partial y} = -\frac{\partial \psi}{\partial x}$
Planar: cylindrical coordinates	$u_r = \frac{\partial \phi}{\partial r} = \frac{1}{r} \frac{\partial \psi}{\partial \theta}$ $u_\theta = \frac{1}{r} \frac{\partial \phi}{\partial \theta} = -\frac{\partial \psi}{\partial r}$
Axially symmetric; cylindrical coordinates	$u_r = \frac{\partial \phi}{\partial r} = -\frac{1}{r} \frac{\partial \psi}{\partial z}$ $u_z = \frac{\partial \phi}{\partial z} = \frac{1}{r} \frac{\partial \psi}{\partial r}$

cilindrica

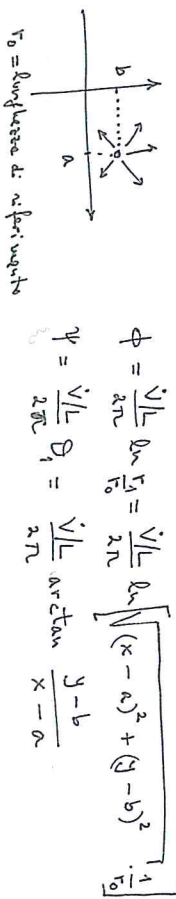
$$\nabla \times \vec{v} = \vec{0}$$

$$\vec{e}_r \left(\frac{1}{r} \frac{\partial u_\theta}{\partial \theta} - \frac{\partial u_r}{\partial r} \right) + \vec{e}_\theta \left(\frac{\partial u_r}{\partial r} - \frac{\partial u_\theta}{\partial \theta} \right) + \vec{e}_z \left(\frac{1}{r} \left[\frac{\partial (ru_\theta)}{\partial r} - \frac{\partial (ru_r)}{\partial \theta} \right] \right)$$

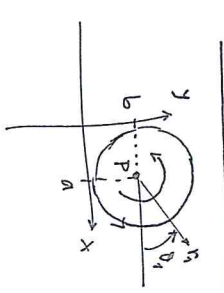
ROTORE

Mot. elementari piani: Moto uniforme: $\vec{v} = V_x \vec{i} + V_y \vec{j}$

Sorgente di portata \vec{V}_L , centrata in $P(a, b)$:



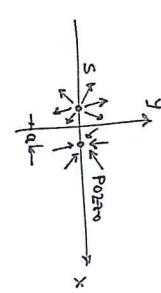
Vertice di circolazione Γ , centrato in $P(a, b)$



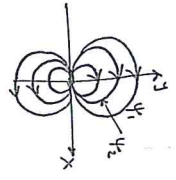
$$\phi = \frac{\Gamma}{2\pi} \theta_1 = \frac{\Gamma}{2\pi} \arctan \frac{y-b}{x-a}$$

$$\psi = -\frac{\Gamma}{2\pi} \ln \frac{r_1}{r_0} = -\frac{\Gamma}{2\pi} \ln \left[\frac{\sqrt{(x-a)^2 + (y-b)^2}}{r_0} \right]$$

degenerata: tangente + polo di portata \vec{V}_L molto grande e molto vicini tra loro ($a \rightarrow 0$) si



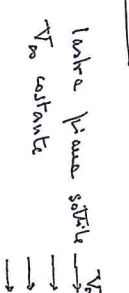
ma da cui $\frac{a \vec{V}_L}{\pi} = K$ finito,
 $K =$ intensità della diploide
 $\psi = -K \frac{\sin \theta}{r}$ $\phi = K \frac{\cos \theta}{r}$



moto uniforme + diploide: moto attorno a cilindro

Strato limite

incomprensibile, irrotazionale



lente prima della V_∞
 V_∞ costante

$$u = \psi_3 \quad v = -\psi_4$$

risolve ψ di equazione di continuità e' anche con equ. momento

$$u_x + v_y = \nabla_n \frac{dV_\infty}{dx} + \frac{\partial \psi}{\partial y} = 0$$

$\eta = y \sqrt{\frac{V_\infty}{\nu x}}$ variabile di similitudine
 funzione di corrente ordinabile: $f(\eta) = \frac{\psi}{\sqrt{\nu V_\infty x}}$, $u = \nabla_n f'$
 eq. di Navier-Stokes: $f'''' + \frac{1}{2} f f'' = 0$, cc: $f(0) = f'(\infty) = 0$
 $f'(\infty) = 1$

SPEGNUTE DI SPORSTAMENTO: $\delta^* = \int_0^{\infty} (1 - \frac{u}{V_\infty}) dy$

SPESORE DI QUANTITÀ DI MOTO: $\theta = \int_0^{\infty} \frac{u}{V_\infty} (1 - \frac{u}{V_\infty}) dy$

Area dinamica critica: $C_L = \frac{L}{\frac{1}{2} \rho V^2 A}$ $C_D = \frac{D}{\frac{1}{2} \rho V^2 A}$
 $L = lift$ (portante), $D = drag$ (resistenza)

D è composta da resistenza di attrito, resistenza di pressione ...